

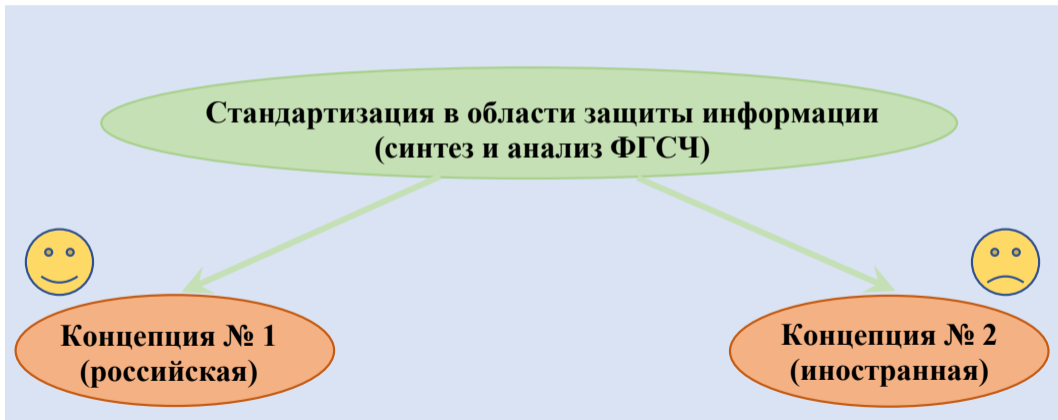


Оценка снизу энтропии Шеннона
для одной теоретико-вероятностной модели
источника криптографических ключей

1–5 июня 2026 года
г. Минск, Республика Беларусь

Введение

Параллельными курсами развиваются две концепции проверки криптографического качества двоичных последовательностей, формируемых с использованием ФГСЧ.



Первая концепция (разрабатываемая ТК 26) основана на:

- построении и проверке теоретико-вероятностной модели (далее – ТВМ) ФГСЧ;
- классификации схемы формирования двоичных последовательностей ФГСЧ;
- оценке криптографического качества ключей, формируемых из двоичных последовательностей ФГСЧ в соответствии с заданной схемой, с использованием функционала «практическая секретность ключа».

Замечание

Имеется жесткая взаимосвязь ТВМ и характеристик ФГСЧ, зависящих от схемы^а формирования знаков ФГСЧ и влияющих на практическую секретность ключей^б.

^аBogdanov D.S., Logachev A.S., Mironkin V.O., “Theoretical Models of Physical Random Number Generators”, *Automatic Control and Computer Sciences*, 8:58 (2024), 1303–1310.

^бАрбеков И.М., “Критерий секретности ключа”, *Матем. вопр. криптографии*, 7:1 (2016), 39–56.

Первая концепция (разрабатываемая ТК 26) основана на:

- построении и проверке теоретико-вероятностной модели (далее – ТВМ) ФГСЧ;
- классификации схемы формирования двоичных последовательностей ФГСЧ;
- оценке криптографического качества ключей, формируемых из двоичных последовательностей ФГСЧ в соответствии с заданной схемой, с использованием функционала «практическая секретность ключа».

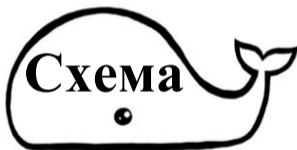
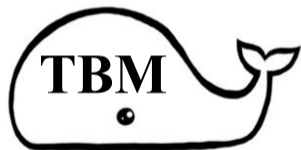
Замечание

Имеется жесткая взаимосвязь ТВМ и характеристик ФГСЧ, зависящих от схемы^a формирования знаков ФГСЧ и влияющих на практическую секретность ключей^b.

^aBogdanov D.S., Logachev A.S., Mironkin V.O., “Theoretical Models of Physical Random Number Generators”, *Automatic Control and Computer Sciences*, **8**:58 (2024), 1303–1310.

^bАрбеков И.М., “Критерий секретности ключа”, *Матем. вопр. криптографии*, **7**:1 (2016), 39–56.

Синтез и анализ ФГСЧ

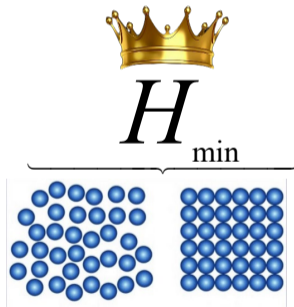


Вторая концепция (NIST Special Publication 800-90B) допускает:

- рассмотрение ФГСЧ в качестве «черного ящика»;
- оценку криптографического качества ключей, формируемых из двоичных последовательностей ФГСЧ, с использованием *min*-энтропии.



+



Для второй концепции не все гладко. Есть вопросы:

- 1 Какую информацию о качестве ФГСЧ несет в себе оценка min -энтропии ВС, рассчитанная для конкретного выхода ФГСЧ (в том числе в модели «черного ящика»)? Не лучше ли рассматривать энтропию Шеннона дискретного источника?
- 2 Корректно ли говорить об энтропии Шеннона дискретного источника в случае нестационарности исходного случайного физического процесса?
- 3 Не занижаем ли мы искусственно реальную оценку min -энтропии, выбирая наименьшую из целой совокупности оценок, описанных в NIST SP 800-90B? Рисуем ли мы криптографически качественный ФГСЧ классифицировать неудобным?

Замечание

Наличие указанных вопросов способно существенным образом усложнить процесс синтеза и сертификации ФГСЧ.

Для второй концепции не все гладко. Есть вопросы:

- 1 Какую информацию о качестве ФГСЧ несет в себе оценка min -энтропии ВС, рассчитанная для конкретного выхода ФГСЧ (в том числе в модели «черного ящика»)? Не лучше ли рассматривать энтропию Шеннона дискретного источника?
- 2 Корректно ли говорить об энтропии Шеннона дискретного источника в случае нестационарности исходного случайного физического процесса?
- 3 Не занижаем ли мы искусственно реальную оценку min -энтропии, выбирая наименьшую из целой совокупности оценок, описанных в NIST SP 800-90B? Рисуем ли мы криптографически качественный ФГСЧ классифицировать неудобным?

Замечание

Наличие указанных вопросов способно существенным образом усложнить процесс синтеза и сертификации ФГСЧ.

Фундаментальная проблема!

Вопрос использования энтропии Шеннона для оценки криптографического качества двоичных последовательностей до сих пор остается открытым!



Основополагающая статья Андрея Михайловича Зубкова^a.

^aЗубков А.М., “Энтропия как характеристика качества случайных последовательностей”, *Матем. вопр. криптогр.*, **12:3** (2021), 31–48.

Особая роль ТВМ...

Будем использовать ТВМ источника криптографических ключей, приближенную к реальным условиям функционирования ФГСЧ^b и позволившую оценить ПСК в предельном случае, наиболее благоприятном для противника и/или нарушителя.

Ее описание немного ниже!!!

^bСерия докладов на РусКрипто'2026 (секция «Математические аспекты...ГСЧ»).

На практике используются и другие модели!

К примеру, ТВМ независимых s цепочек, подробно исследованная в работах

- *Зубкова Андрея Михайловича,*
- *Харина Юрия Семеновича,*
- *Палухи Владимира Юрьевича,*
- *Мальцева Михаила Владимировича* и др.,

в рамках которой подготовлены статьи по:

- статистической проверке сложных гипотез об s -мерном распределении вероятностей двоичных последовательностей (2024);
- проведению асимптотического анализа статистических оценок энтропии Шеннона двоичных s -грамм (2025),

позволяет описывать широкий класс генераторов и их свойства.

На практике используются и другие модели!

К примеру, ТВМ независимых s цепочек, подробно исследованная в работах

- *Зубкова Андрея Михайловича,*
- *Харина Юрия Семеновича,*
- *Палухи Владимира Юрьевича,*
- *Мальцева Михаила Владимировича* и др.,

в рамках которой подготовлены статьи по:

- **статистической проверке сложных гипотез об s -мерном распределении вероятностей двоичных последовательностей (2024);**
- **проведению асимптотического анализа статистических оценок энтропии Шеннона двоичных s -грамм (2025),**

позволяет описывать широкий класс генераторов и их свойства.

На практике используются и другие модели!

К примеру, ТВМ независимых s цепочек, подробно исследованная в работах

- *Зубкова Андрея Михайловича,*
- *Харина Юрия Семеновича,*
- *Палухи Владимира Юрьевича,*
- *Мальцева Михаила Владимировича* и др.,

в рамках которой подготовлены статьи по:

- **статистической проверке сложных гипотез об s -мерном распределении вероятностей двоичных последовательностей (2024);**
- **проведению асимптотического анализа статистических оценок энтропии Шеннона двоичных s -грамм (2025),**

позволяет описывать широкий класс генераторов и их свойства.

На практике используются и другие модели!

К примеру, ТВМ независимых s цепочек, подробно исследованная в работах

- *Зубкова Андрея Михайловича,*
- *Харина Юрия Семеновича,*
- *Палухи Владимира Юрьевича,*
- *Мальцева Михаила Владимировича* и др.,

в рамках которой подготовлены статьи по:

- **статистической проверке сложных гипотез об s -мерном распределении вероятностей двоичных последовательностей (2024);**
- **проведению асимптотического анализа статистических оценок энтропии Шеннона двоичных s -грамм (2025),**

позволяет описывать широкий класс генераторов и их свойства.

Под руководством Харина Ю.С. разработаны следующие методики:

- 1 “Методика оценки энтропии источников случайности” (2022);
- 2 “Методика статистического тестирования выходных последовательностей генераторов случайных чисел” (2022).



Указанные документы являются основополагающими!

Используются испытательными лабораториями при проведении сертификационных испытаний средств криптографической защиты информации на соответствие требованиям СТБ 34.101.27-2022 *“Информационные технологии и безопасность. Средства криптографической защиты информации. Требования безопасности”*.

В рамках выбранной ТВМ

- 1 построим достижимое распределение на множестве криптоключей, формируемых ФГСЧ, на котором энтропия Шеннона соответствующей ВС принимает минимальное значение;
- 2 покажем, что указанное распределение не зависит от времени формирования битов ключа и, как следствие, характеризует интегральные теоретико-информационные свойства случайного процесса, лежащего в основе ФГСЧ;
- 3 сравним полученную характеристику с \min -энтропией криптоключей.

Попутно решим следующие задачи:

- 1 дополним первую концепцию еще одним криптографическим функционалом – достижимой оценкой снизу энтропии Шеннона криптоключей.
- 2 исключим избыточный расчет оценок \min -энтропии, предписанный NIST Special Publication 800-90B.

В рамках выбранной ТВМ

- 1 построим достижимое распределение на множестве криптоключей, формируемых ФГСЧ, на котором энтропия Шеннона соответствующей ВС принимает минимальное значение;
- 2 покажем, что указанное распределение не зависит от времени формирования битов ключа и, как следствие, характеризует интегральные теоретико-информационные свойства случайного процесса, лежащего в основе ФГСЧ;
- 3 сравним полученную характеристику с \min -энтропией криптоключей.

Попутно решим следующие задачи:

- 1 дополним первую концепцию еще одним криптографическим функционалом – достижимой оценкой снизу энтропии Шеннона криптоключей.
- 2 исключим избыточный расчет оценок \min -энтропии, предписанный NIST Special Publication 800-90B.

В рамках выбранной ТВМ

- 1 построим достижимое распределение на множестве криптоключей, формируемых ФГСЧ, на котором энтропия Шеннона соответствующей ВС принимает минимальное значение;
- 2 покажем, что указанное распределение не зависит от времени формирования битов ключа и, как следствие, характеризует интегральные теоретико-информационные свойства случайного процесса, лежащего в основе ФГСЧ;
- 3 сравним полученную характеристику с *min*-энтропией криптоключей.

Попутно решим следующие задачи:

- 1 дополним первую концепцию еще одним криптографическим функционалом – достижимой оценкой снизу энтропии Шеннона криптоключей.
- 2 исключим избыточный расчет оценок *min*-энтропии, предписанный NIST Special Publication 800-90B.

В рамках выбранной ТВМ

- 1 построим достижимое распределение на множестве криптоключей, формируемых ФГСЧ, на котором энтропия Шеннона соответствующей ВС принимает минимальное значение;
- 2 покажем, что указанное распределение не зависит от времени формирования битов ключа и, как следствие, характеризует интегральные теоретико-информационные свойства случайного процесса, лежащего в основе ФГСЧ;
- 3 сравним полученную характеристику с \min -энтропией криптоключей.

Попутно решим следующие задачи:

- 1 дополним первую концепцию еще одним криптографическим функционалом – достижимой оценкой снизу энтропии Шеннона криптоключей.
- 2 исключим избыточный расчет оценок \min -энтропии, предписанный NIST Special Publication 800-90B.

В рамках выбранной ТВМ

- 1 построим достижимое распределение на множестве криптоключей, формируемых ФГСЧ, на котором энтропия Шеннона соответствующей ВС принимает минимальное значение;
- 2 покажем, что указанное распределение не зависит от времени формирования битов ключа и, как следствие, характеризует интегральные теоретико-информационные свойства случайного процесса, лежащего в основе ФГСЧ;
- 3 сравним полученную характеристику с \min -энтропией криптоключей.

Попутно решим следующие задачи:

- 1 дополним первую концепцию еще одним криптографическим функционалом – достижимой оценкой снизу энтропии Шеннона криптоключей.
- 2 исключим избыточный расчет оценок \min -энтропии, предписанный NIST Special Publication 800-90B.

В рамках выбранной ТВМ

- 1 построим достижимое распределение на множестве криптоключей, формируемых ФГСЧ, на котором энтропия Шеннона соответствующей ВС принимает минимальное значение;
- 2 покажем, что указанное распределение не зависит от времени формирования битов ключа и, как следствие, характеризует интегральные теоретико-информационные свойства случайного процесса, лежащего в основе ФГСЧ;
- 3 сравним полученную характеристику с \min -энтропией криптоключей.

Попутно решим следующие задачи:

- 1 дополним первую концепцию еще одним криптографическим функционалом – достижимой оценкой снизу энтропии Шеннона криптоключей.
- 2 исключим избыточный расчет оценок \min -энтропии, предписанный NIST Special Publication 800-90B.

В рамках выбранной ТВМ

- 1 построим достижимое распределение на множестве криптоключей, формируемых ФГСЧ, на котором энтропия Шеннона соответствующей ВС принимает минимальное значение;
- 2 покажем, что указанное распределение не зависит от времени формирования битов ключа и, как следствие, характеризует интегральные теоретико-информационные свойства случайного процесса, лежащего в основе ФГСЧ;
- 3 сравним полученную характеристику с \min -энтропией криптоключей.

Попутно решим следующие задачи:

- 1 дополним первую концепцию еще одним криптографическим функционалом – достижимой оценкой снизу энтропии Шеннона криптоключей.
- 2 исключим избыточный расчет оценок \min -энтропии, предписанный NIST Special Publication 800-90B.

Модель источника криптографических ключей

Рассмотрим невырожденный двоичный дискретный источник – вероятностное пространство $(\{0, 1\}^\infty, \mathcal{F}, \mathbf{P})$, где

- \mathcal{F} – наименьшая по включению σ -алгебра на $\{0, 1\}^\infty$, содержащая все цилиндрические множества общего вида;
- вероятность \mathbf{P} такова, что для ее конечномерных распределений P_{t_1, t_2, \dots, t_k} , $1 \leq t_1 < t_2 < \dots < t_k$, $k = 1, 2, \dots$, выполняется соотношение^a

$$\left(\frac{1}{2} - \varepsilon\right)^k \leq P_{t_1, t_2, \dots, t_k}(x_1, x_2, \dots, x_k) \leq \left(\frac{1}{2} + \varepsilon\right)^k \quad (1)$$

для произвольных $(x_1, x_2, \dots, x_k) \in \{0, 1\}^k$, где $0 \leq \varepsilon < \frac{1}{2}$.

^aЛогачев А.С., МIRONKIN В.О., “О влиянии вероятностных характеристик дискретных источников, формирующих криптографические ключи, на практическую секретность ключа”, *ПДМ*, **8:65** (2024), 66–83.

Замечание

Источник типа (1) – это приближенная к реальности математическая модель ФГСЧ, формирующего «сырые» двоичные последовательности, которые в дальнейшем подвергаются детерминированному преобразованию^a.

^aАрбеков И.М., Молотков С.Н., “Квантовые генераторы случайных чисел, экстракция доказуемо случайных битовых последовательностей из траекторий цепи Маркова”, *Успехи физических наук*, **194:9** (2024), 974–993.

Тогда для произвольного фиксированного $n \in \mathbb{N}$ каждая последовательность $(x_1, \dots, x_n) \in \{0, 1\}^n$ вырабатывается в соответствии с полиномиальной схемой, зависящей от вектора $\bar{t} = (t_1, t_2, \dots, t_n)$:

$$\mathcal{A}_\varepsilon(\bar{t}) \sim \begin{pmatrix} \omega_1 & \omega_2 & \dots & \omega_{2^n} \\ p_1(\bar{t}) & p_2(\bar{t}) & \dots & p_{2^n}(\bar{t}) \end{pmatrix}. \quad (2)$$

Замечание

Источник типа (1) – это приближенная к реальности математическая модель ФГСЧ, формирующего «сырые» двоичные последовательности, которые в дальнейшем подвергаются детерминированному преобразованию^a.

^aАрбеков И.М., Молотков С.Н., “Квантовые генераторы случайных чисел, экстракция доказуемо случайных битовых последовательностей из траекторий цепи Маркова”, *Успехи физических наук*, **194**:9 (2024), 974–993.

Тогда для произвольного фиксированного $n \in \mathbb{N}$ каждая последовательность $(x_1, \dots, x_n) \in \{0, 1\}^n$ вырабатывается в соответствии с полиномиальной схемой, зависящей от вектора $\bar{t} = (t_1, t_2, \dots, t_n)$:

$$\mathcal{A}_\varepsilon(\bar{t}) \sim \begin{pmatrix} \omega_1 & \omega_2 & \dots & \omega_{2^n} \\ p_1(\bar{t}) & p_2(\bar{t}) & \dots & p_{2^n}(\bar{t}) \end{pmatrix}. \quad (2)$$

Здесь $\omega_j \in \{0, 1\}^n$, $j = 1, 2, \dots, 2^n$, а компоненты вектора распределения $\bar{p}(\bar{t}) = (p_1(\bar{t}), p_2(\bar{t}), \dots, p_{2^n}(\bar{t}))$ удовлетворяют системе соотношений

$$\begin{cases} p_1(\bar{t}) + p_2(\bar{t}) + \dots + p_{2^n}(\bar{t}) = 1, \\ 1 > p_1(\bar{t}) \geq p_2(\bar{t}) \geq \dots \geq p_{2^n}(\bar{t}) > 0, \\ \left(\frac{1}{2} - \varepsilon\right)^n \leq p_j(\bar{t}) \leq \left(\frac{1}{2} + \varepsilon\right)^n, \quad j = 1, 2, \dots, 2^n. \end{cases} \quad (3)$$

Наша цель

Для источника вида (1) в условиях ограничений (3) построить достижимую оценку снизу для энтропии Шеннона ВС $\mathcal{A}_\varepsilon(\bar{t})$.

Для этого сформулируем ряд вспомогательных утверждений о монотонности энтропии Шеннона ВС.

Монотонность энтропии Шеннона дискретной вероятностной схемы

Рассмотрим пространство элементарных исходов $\Omega = \{\omega_1, \dots, \omega_{2^n}\}$, $n \in \mathbb{N}$, и заданную на нем дискретную ВС

$$\mathcal{A} \sim \begin{pmatrix} \omega_1 & \omega_2 & \dots & \omega_{2^n} \\ p_1 & p_2 & \dots & p_{2^n} \end{pmatrix},$$

где $0 < p_i < 1$, $i = 1, \dots, 2^n$, $\sum_{i=1}^{2^n} p_i = 1$, $p_1 = \max(p_1, \dots, p_{2^n})$, $p_{2^n} = \min(p_1, \dots, p_{2^n})$.

Определение

Энтропией Шеннона ВС \mathcal{A} называется величина

$$H(\mathcal{A}) \equiv H(p_1, \dots, p_{2^n}) = - \sum_{i=1}^{2^n} p_i \log_2 p_i.$$

Важное свойство

Степень однородности распределения ВС напрямую связана с величиной энтропии ВС: чем равномернее распределение, тем выше значение энтропии Шеннона. Рассмотрим различные модификации ВС \mathcal{A} :

① *Максимизация наибольшего значения элементов распределения ВС \mathcal{A} .*

Утверждение

Пусть $n \in \mathbb{N}$ и дискретная ВС \mathcal{B} получена из \mathcal{A} путем увеличения значения p_1 :

$$\mathcal{B} \sim \begin{pmatrix} \omega_1 & \omega_2 & \dots & \omega_{2^n} \\ p_1 + \Delta & p_2 - \Delta_2 & \dots & p_{2^n} - \Delta_{2^n} \end{pmatrix},$$

где $0 \leq \Delta < 1 - p_1$, $\Delta = \sum_{i=2}^{2^n} \Delta_i$, $0 \leq \Delta_i < p_i$, $i = 2, \dots, 2^n$.

Тогда $H(\mathcal{B}) \leq H(\mathcal{A})$.

Важное свойство

Степень однородности распределения ВС напрямую связана с величиной энтропии ВС: чем равномернее распределение, тем выше значение энтропии Шеннона. Рассмотрим различные модификации ВС \mathcal{A} :

1 *Максимизация наибольшего значения элементов распределения ВС \mathcal{A} .*

Утверждение

Пусть $n \in \mathbb{N}$ и дискретная ВС \mathcal{B} получена из \mathcal{A} путем увеличения значения p_1 :

$$\mathcal{B} \sim \begin{pmatrix} \omega_1 & \omega_2 & \dots & \omega_{2^n} \\ p_1 + \Delta & p_2 - \Delta_2 & \dots & p_{2^n} - \Delta_{2^n} \end{pmatrix},$$

где $0 \leq \Delta < 1 - p_1$, $\Delta = \sum_{i=2}^{2^n} \Delta_i$, $0 \leq \Delta_i < p_i$, $i = 2, \dots, 2^n$.

Тогда $H(\mathcal{B}) \leq H(\mathcal{A})$.

Таким образом, для распределений вида (3) имеет место неравенство

$$H(p_1(\bar{t}), p_2(\bar{t}), \dots, p_{2^n}(\bar{t})) \geq H\left(\left(\frac{1}{2} + \varepsilon\right)^n, \tilde{p}_2(\bar{t}), \dots, \tilde{p}_{2^n}(\bar{t})\right),$$

где $(\frac{1}{2} - \varepsilon)^n \leq \tilde{p}_i(\bar{t}) \leq p_i(\bar{t})$, $i = 2, \dots, 2^n$, и $\sum_{i=2}^{2^n} \tilde{p}_i(\bar{t}) = 1 - (\frac{1}{2} + \varepsilon)^n$.

② *Минимизация наименьшего значения элементов распределения ВС \mathcal{A} .*

Утверждение

Пусть $n \in \mathbb{N}$ и дискретная ВС \mathcal{B} получена из \mathcal{A} путем уменьшения значения p_{2^n} :

$$\mathcal{B} \sim \begin{pmatrix} \omega_1 & \dots & \omega_{2^n-1} & \omega_{2^n} \\ p_1 + \Delta_1 & \dots & p_{2^n-1} + \Delta_{2^n-1} & p_{2^n} - \Delta \end{pmatrix},$$

где $0 \leq \Delta < p_{2^n}$, $\Delta = \sum_{i=1}^{2^n-1} \Delta_i$, $0 \leq \Delta_i < 1 - p_i$, $i = 1, \dots, 2^n - 1$.

Тогда $H(\mathcal{B}) \leq H(\mathcal{A})$.

Таким образом, для распределений вида (3) имеет место неравенство

$$H(p_1(\bar{t}), p_2(\bar{t}), \dots, p_{2^n}(\bar{t})) \geq H\left(\left(\frac{1}{2} + \varepsilon\right)^n, \tilde{p}_2(\bar{t}), \dots, \tilde{p}_{2^n}(\bar{t})\right),$$

где $(\frac{1}{2} - \varepsilon)^n \leq \tilde{p}_i(\bar{t}) \leq p_i(\bar{t})$, $i = 2, \dots, 2^n$, и $\sum_{i=2}^{2^n} \tilde{p}_i(\bar{t}) = 1 - (\frac{1}{2} + \varepsilon)^n$.

2 *Минимизация наименьшего значения элементов распределения ВС \mathcal{A} .*

Утверждение

Пусть $n \in \mathbb{N}$ и дискретная ВС \mathcal{B} получена из \mathcal{A} путем уменьшения значения p_{2^n} :

$$\mathcal{B} \sim \begin{pmatrix} \omega_1 & \dots & \omega_{2^n-1} & \omega_{2^n} \\ p_1 + \Delta_1 & \dots & p_{2^n-1} + \Delta_{2^n-1} & p_{2^n} - \Delta \end{pmatrix},$$

где $0 \leq \Delta < p_{2^n}$, $\Delta = \sum_{i=1}^{2^n-1} \Delta_i$, $0 \leq \Delta_i < 1 - p_i$, $i = 1, \dots, 2^n - 1$.

Тогда $H(\mathcal{B}) \leq H(\mathcal{A})$.

Из последнего утверждения для распределений вида (3) следует неравенство

$$H(p_1(\bar{t}), \dots, p_{2^n-1}(\bar{t}), p_{2^n}(\bar{t})) \geq H(\tilde{p}_1(\bar{t}), \dots, \tilde{p}_{2^n-1}(\bar{t}), \left(\frac{1}{2} - \varepsilon\right)^n),$$

где $p_i(\bar{t}) \leq \tilde{p}_i(\bar{t}) \leq \left(\frac{1}{2} + \varepsilon\right)^n$, $i = 1, \dots, 2^n - 1$, и $\sum_{i=1}^{2^n-1} \tilde{p}_i(\bar{t}) = 1 - \left(\frac{1}{2} - \varepsilon\right)^n$.

Далее рассмотрим удовлетворяющую (3) дискретную ВС

$$A \sim \begin{pmatrix} \omega_1 & \dots & \omega_a & \omega_{a+1} & \dots & \omega_{b-1} & \omega_b & \dots & \omega_{2^n} \\ \left(\frac{1}{2} + \varepsilon\right)^n & \dots & \left(\frac{1}{2} + \varepsilon\right)^n & p_{a+1} & \dots & p_{b-1} & \left(\frac{1}{2} - \varepsilon\right)^n & \dots & \left(\frac{1}{2} - \varepsilon\right)^n \end{pmatrix},$$

где $a, b \in \mathbb{N}$, $1 \leq a < b \leq 2^n$, и $p_{a+1} \geq \dots \geq p_{b-1}$ такие, что

$$\left(\frac{1}{2} - \varepsilon\right)^n \leq p_i \leq \left(\frac{1}{2} + \varepsilon\right)^n, \quad i = a + 1, \dots, b - 1,$$

$$\sum_{i=a+1}^{b-1} p_i = 1 - a \left(\frac{1}{2} + \varepsilon\right)^n - b \left(\frac{1}{2} - \varepsilon\right)^n.$$

③ Минимизация и максимизация неэкстремальных значений элементов распределения ВС \mathcal{A} .

Утверждение

Пусть $n \in \mathbb{N}$ и дискретная ВС \mathcal{B} получена из \mathcal{A} путем

- увеличения p_{a+1} на Δ , $0 \leq \Delta \leq \left(\frac{1}{2} + \varepsilon\right)^n - p_{a+1}$, за счет уменьшения p_{a+2}, \dots, p_{b-1} :

$$\Delta = \sum_{i=a+2}^{b-1} \Delta_i, \quad 0 \leq \Delta_i \leq p_i - \left(\frac{1}{2} - \varepsilon\right)^n, \quad i = a+2, \dots, b-1.$$

- уменьшения p_{b-1} на Δ , $0 \leq \Delta \leq p_{b-1} - \left(\frac{1}{2} - \varepsilon\right)^n$, за счет увеличения p_{a+1}, \dots, p_{b-2} :

$$\Delta = \sum_{i=a+1}^{b-2} \Delta_i, \quad 0 \leq \Delta_i \leq \left(\frac{1}{2} + \varepsilon\right)^n - p_i, \quad i = a+1, \dots, b-2.$$

Тогда $H(\mathcal{B}) \leq H(\mathcal{A})$.

Из приведенных утверждений следует, что конечномерное распределение типа (3), минимизирующее значение энтропии Шеннона ВС (12), имеет следующий вид:

$$\hat{p}_1(\bar{t}) = \dots = \hat{p}_s(\bar{t}) = \left(\frac{1}{2} + \varepsilon\right)^n,$$

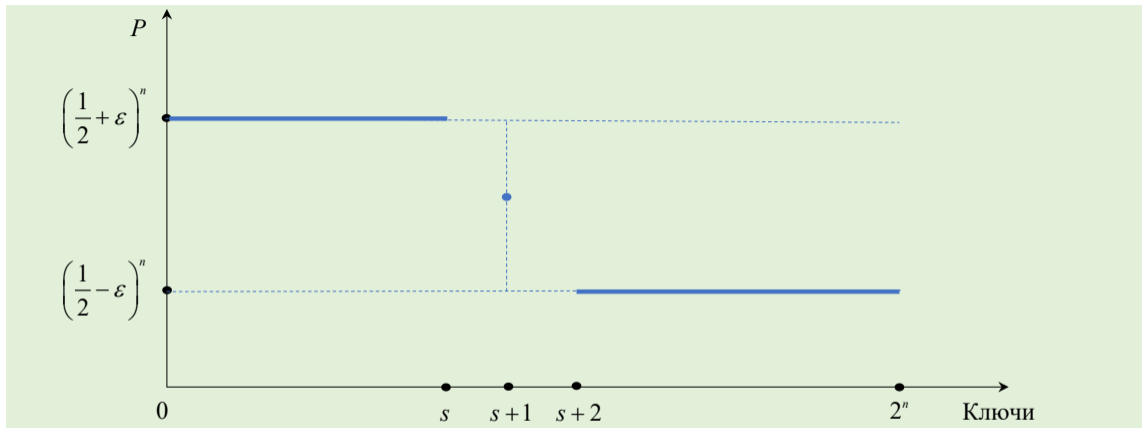
$$\hat{p}_{s+2}(\bar{t}) = \dots = \hat{p}_{2^n}(\bar{t}) = \left(\frac{1}{2} - \varepsilon\right)^n, \quad (4)$$

$$\hat{p}_{s+1}(\bar{t}) = 1 - \sum_{j=1}^s \hat{p}_j(\bar{t}) - \sum_{j=s+2}^{2^n} \hat{p}_j = 1 - s \left(\frac{1}{2} + \varepsilon\right)^n - (2^n - s - 1) \left(\frac{1}{2} - \varepsilon\right)^n > 0,$$

где

$$s = s_n(\varepsilon) \equiv \begin{cases} \left[2^n \frac{1 - (1 - 2\varepsilon)^n}{(1 + 2\varepsilon)^n - (1 - 2\varepsilon)^n} \right], & 0 < \varepsilon < \frac{1}{2}, \\ 2^n, & \varepsilon = 0. \end{cases}$$

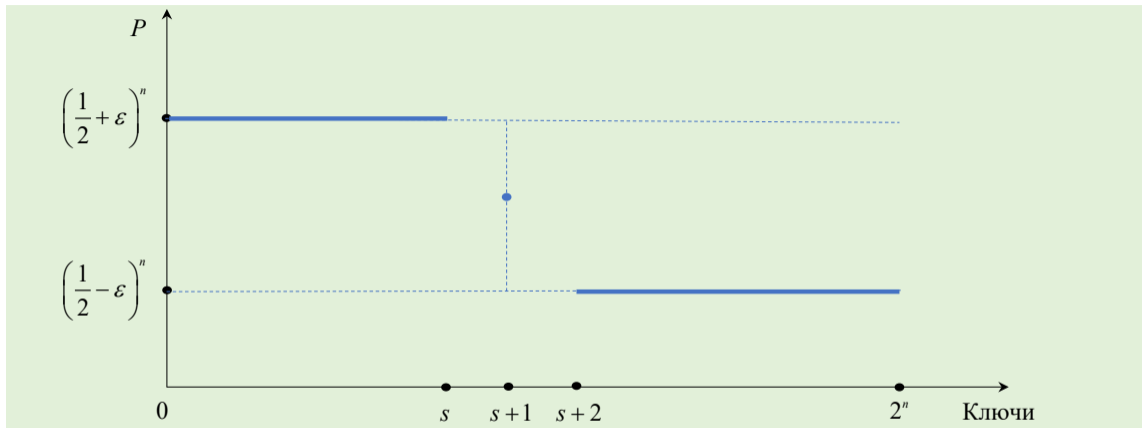
Схематично распределение (4) можно представить так:



Практически значимый факт

Не зависящее от времени распределение (4) в точности совпадает конечномерным распределением типа (3), минимизирующим ПСК.

Схематично распределение (4) можно представить так:



Практически значимый факт

Не зависящее от времени распределение (4) в точности совпадает конечномерным распределением типа (3), минимизирующим ПСК.

Он позволяет

Установить взаимосвязь между энтропией Шеннона и ПСК в рамках оценивания криптографического качества ключей!

Рассмотрим непрерывную на интервале $(0; \frac{1}{2})$ функцию

$$r_n(\varepsilon) = \begin{cases} 2^n \frac{1-(1-2\varepsilon)^n}{(1+2\varepsilon)^n - (1-2\varepsilon)^n}, & 0 < \varepsilon < \frac{1}{2}, \\ 2^n, & \varepsilon = 0. \end{cases} \quad (5)$$

Утверждение

Пусть $n \in \mathbb{N}$. Тогда функция $r_n(\varepsilon)$, принимающая значения из множества $(1; 2^{n-1}) \cup \{2^n\}$, монотонно убывает по $\varepsilon \in [0; \frac{1}{2})$.

Следствие

Распределение (4) стремится к вырожденному с ростом $\varepsilon \in [0; \frac{1}{2})$. Таким образом, энтропия Шеннона распределения (4) монотонно убывает, достигая нуля в пределе.

Он позволяет

Установить взаимосвязь между энтропией Шеннона и ПСК в рамках оценивания криптографического качества ключей!

Рассмотрим непрерывную на интервале $(0; \frac{1}{2})$ функцию

$$r_n(\varepsilon) = \begin{cases} 2^n \frac{1-(1-2\varepsilon)^n}{(1+2\varepsilon)^n - (1-2\varepsilon)^n}, & 0 < \varepsilon < \frac{1}{2}, \\ 2^n, & \varepsilon = 0. \end{cases} \quad (5)$$

Утверждение

Пусть $n \in \mathbb{N}$. Тогда функция $r_n(\varepsilon)$, принимающая значения из множества $(1; 2^{n-1}) \cup \{2^n\}$, монотонно убывает по $\varepsilon \in [0; \frac{1}{2})$.

Следствие

Распределение (4) стремится к вырожденному с ростом $\varepsilon \in [0; \frac{1}{2})$. Таким образом, энтропия Шеннона распределения (4) монотонно убывает, достигая нуля в пределе.

Он позволяет

Установить взаимосвязь между энтропией Шеннона и ПСК в рамках оценивания криптографического качества ключей!

Рассмотрим непрерывную на интервале $(0; \frac{1}{2})$ функцию

$$r_n(\varepsilon) = \begin{cases} 2^n \frac{1-(1-2\varepsilon)^n}{(1+2\varepsilon)^n - (1-2\varepsilon)^n}, & 0 < \varepsilon < \frac{1}{2}, \\ 2^n, & \varepsilon = 0. \end{cases} \quad (5)$$

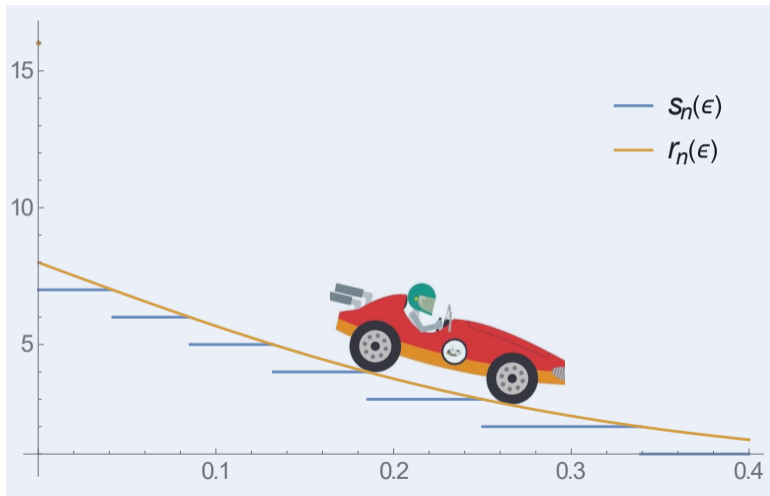
Утверждение

Пусть $n \in \mathbb{N}$. Тогда функция $r_n(\varepsilon)$, принимающая значения из множества $(1; 2^{n-1}) \cup \{2^n\}$, монотонно убывает по $\varepsilon \in [0; \frac{1}{2})$.

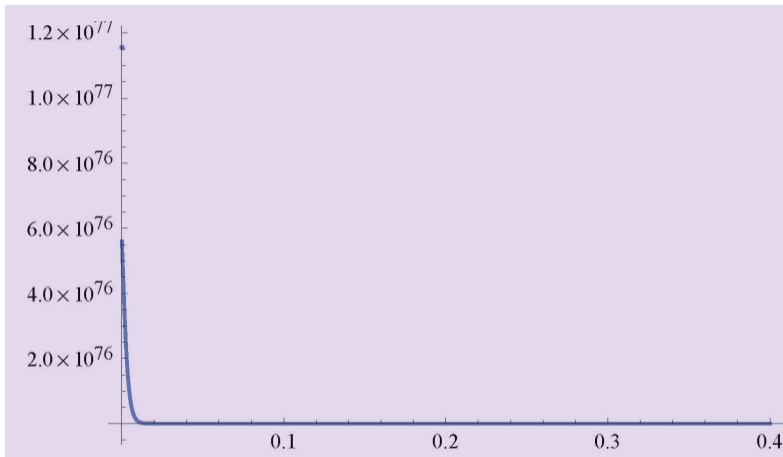
Следствие

Распределение (4) стремится к вырожденному с ростом $\varepsilon \in [0; \frac{1}{2})$. Таким образом, энтропия Шеннона распределения (4) монотонно убывает, достигая нуля в пределе.

В качестве примера проиллюстрируем характер зависимости функций $r_n(\varepsilon)$ и $s_n(\varepsilon)$ от $\varepsilon \in [0; \frac{1}{2})$ при $n = 4$.



На рис. ниже представлен график $s_n(\varepsilon)$ при типичном значении размера ключа $n = 256$.



<> Теперь мы можем перейти к изложению основного результата статьи! <>

Достижимая оценка снизу энтропии Шеннона

Обозначение

\mathcal{B}_ε – дискретная ВС с распределением (4), соответствующим предельному случаю, наиболее благоприятному для противника и/или нарушителя.

Для произвольных $n \in \mathbb{N}$ и ε , $0 \leq \varepsilon < \frac{1}{2}$, определим величину

$$\mathcal{H}_n(\varepsilon) \equiv \min_{\bar{t}} \left(\min_{p_1(\bar{t}), \dots, p_{2^n}(\bar{t})} (H(p_1(\bar{t}), \dots, p_{2^n}(\bar{t}))) \right),$$

- $\bar{t} = (t_1, t_2, \dots, t_n)$ такие, что $1 \leq t_1 < t_2 < \dots < t_n$;
- $(p_1(\bar{t}), p_2(\bar{t}), \dots, p_{2^n}(\bar{t}))$ – векторы, удовлетворяющие (3).

По построению

$$\mathcal{H}_n(\varepsilon) = H(\mathcal{B}_\varepsilon).$$

Теорема

Для произвольных $n \in \mathbb{N}$ и ε , $0 \leq \varepsilon < \frac{1}{2}$, справедливы равенства:

- если $r_n(\varepsilon) = k \in \{2, \dots, 2^{n-1}\} \cup \{2^n\}$, то

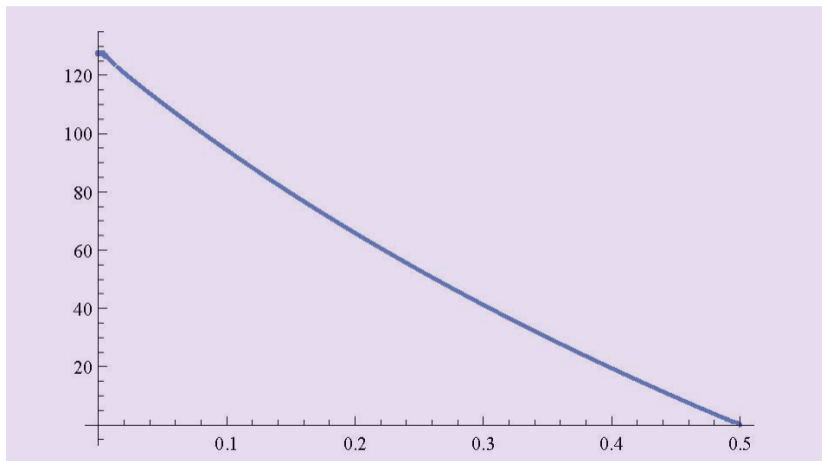
$$\mathcal{H}_n(\varepsilon) = -kn \left(\frac{1}{2} + \varepsilon\right)^n \log_2 \left(\frac{1}{2} + \varepsilon\right) - (2^n - k)n \left(\frac{1}{2} - \varepsilon\right)^n \log_2 \left(\frac{1}{2} - \varepsilon\right), \quad (6)$$

- если $r_n(\varepsilon) \notin \{2, \dots, 2^{n-1}\} \cup \{2^n\}$, то

$$\begin{aligned} \mathcal{H}_n(\varepsilon) = & -s \left(\frac{1}{2} + \varepsilon\right)^n \log_2 \left(\frac{1}{2} + \varepsilon\right)^n - \hat{p}_{s+1} \cdot \log_2 \hat{p}_{s+1} - \\ & - (2^n - s - 1) \left(\frac{1}{2} - \varepsilon\right)^n \log_2 \left(\frac{1}{2} - \varepsilon\right)^n, \quad (7) \end{aligned}$$

где $r_n(\varepsilon) = 2^n \frac{1 - (1 - 2\varepsilon)^n}{(1 + 2\varepsilon)^n - (1 - 2\varepsilon)^n}$, $s = [r_n(\varepsilon)]$.

Для функционала $\mathcal{H}_n(\varepsilon)$ имеет место монотонное убывание с ростом $\varepsilon \in [0; \frac{1}{2})$. На рис. ниже приведена зависимость $\mathcal{H}_n(\varepsilon)$ от ε при $n = 128$.



Сравнение оценки снизу энтропии Шеннона с *min*-энтропией криптографических ключей

Определение

Пусть на $\Omega = \{\omega_1, \dots, \omega_{2^n}\}$, $n \in \mathbb{N}$, задана дискретная ВС

$$\mathcal{A} \sim \begin{pmatrix} \omega_1 & \omega_2 & \dots & \omega_{2^n} \\ p_1 & p_2 & \dots & p_{2^n} \end{pmatrix},$$

где $0 < p_i < 1$, $i = 1, \dots, 2^n$, $\sum_{i=1}^{2^n} p_i = 1$. Тогда минимальной энтропией (или *min*-энтропией) ВС \mathcal{A} называется величина

$$H_{min}(\mathcal{A}) = -\log_2 \max(p_1, \dots, p_{2^n}).$$

Из равенства $\mathcal{H}_n(\varepsilon) = H(\mathcal{B}_\varepsilon)$ вытекает соотношение

$$H_{min}(\mathcal{B}_\varepsilon) \leq \mathcal{H}_n(\varepsilon).$$

Оценим фактическую близость величин $\mathcal{H}_n(\varepsilon)$ и $H_{min}(\mathcal{B}_\varepsilon)$ при всех допустимых ε :

$$\Delta_\varepsilon = \mathcal{H}_n(\varepsilon) - H_{min}(\mathcal{B}_\varepsilon).$$

Следствие

Для произвольных $n \in \mathbb{N}$ и ε , $0 \leq \varepsilon < \frac{1}{2}$, справедливы неравенства:

- если $r_n(\varepsilon) = k \in \{2, \dots, 2^{n-1}\} \cup \{2^n\}$, то

$$\frac{4\varepsilon n (2^n - k)}{\ln 2} \left(\frac{1}{2} - \varepsilon\right)^n \leq \Delta_\varepsilon \leq \frac{4\varepsilon n (2^n - k)}{(1 - 4\varepsilon^2) \ln 2} \left(\frac{1}{2} - \varepsilon\right)^n,$$

- если $r_n(\varepsilon) \notin \{2, \dots, 2^{n-1}\} \cup \{2^n\}$, то

$$\frac{4\varepsilon n (2^n - s - 1)}{\ln 2} \left(\frac{1}{2} - \varepsilon\right)^n \leq \Delta_\varepsilon \leq \frac{4\varepsilon n}{(1 - 4\varepsilon^2) \ln 2} \left(1 - s \left(\frac{1}{2} + \varepsilon\right)^n\right),$$

где $r_n(\varepsilon) = 2^n \frac{1 - (1 - 2\varepsilon)^n}{(1 + 2\varepsilon)^n - (1 - 2\varepsilon)^n}$, $s = [r_n(\varepsilon)]$.

Замечание

Результат следствия позволяет сделать вывод о возможности использования \min -энтропии (вместо величины $\mathcal{H}_n(\varepsilon)$) в рамках анализа криптографического качества ключей, формируемых источником (1).

В качестве примера приведем значения $\mathcal{H}_n(\varepsilon)$ и $H_{\min}(\mathcal{B}_\varepsilon)$ для некоторых типичных параметров ε и n .

Оценка энтропии	ε							
	10^{-4}	$5 \cdot 10^{-4}$	10^{-3}	$5 \cdot 10^{-3}$	10^{-2}	$5 \cdot 10^{-2}$	10^{-1}	$4 \cdot 10^{-1}$
$n = 56$ (DES)								
$\mathcal{H}_n(\varepsilon)$	55.999	55.998	55.991	55.780	55.182	48.344	41.270	8.513
$H_{\min}(\mathcal{B}_\varepsilon)$	55.984	55.919	55.839	55.196	54.400	48.300	41.270	8.512
$n = 112$ (3DES)								
$\mathcal{H}_n(\varepsilon)$	112.0	111.991	111.964	111.181	109.407	96.600	82.540	17.024
$H_{\min}(\mathcal{B}_\varepsilon)$	111.968	111.838	111.677	110.392	108.800	96.600	82.540	17.024

Замечание

Результат следствия позволяет сделать вывод о возможности использования \min -энтропии (вместо величины $\mathcal{H}_n(\varepsilon)$) в рамках анализа криптографического качества ключей, формируемых источником (1).

В качестве примера приведем значения $\mathcal{H}_n(\varepsilon)$ и $H_{\min}(\mathcal{B}_\varepsilon)$ для некоторых типичных параметров ε и n .

Оценка энтропии	ε							
	10^{-4}	$5 \cdot 10^{-4}$	10^{-3}	$5 \cdot 10^{-3}$	10^{-2}	$5 \cdot 10^{-2}$	10^{-1}	$4 \cdot 10^{-1}$
$n = 56$ (DES)								
$\mathcal{H}_n(\varepsilon)$	55.999	55.998	55.991	55.780	55.182	48.344	41.270	8.513
$H_{\min}(\mathcal{B}_\varepsilon)$	55.984	55.919	55.839	55.196	54.400	48.300	41.270	8.512
$n = 112$ (3DES)								
$\mathcal{H}_n(\varepsilon)$	112.0	111.991	111.964	111.181	109.407	96.600	82.540	17.024
$H_{\min}(\mathcal{B}_\varepsilon)$	111.968	111.838	111.677	110.392	108.800	96.600	82.540	17.024

Оценка энтропии	ε							
	10^{-4}	$5 \cdot 10^{-4}$	10^{-3}	$5 \cdot 10^{-3}$	10^{-2}	$5 \cdot 10^{-2}$	10^{-1}	$4 \cdot 10^{-1}$
$n = 128$ (AES, DEAL, KASUMI, Present, SEED, Speck)								
$\mathcal{H}_n(\varepsilon)$	128.0	127.988	127.953	126.959	124.859	110.400	94.332	19.456
$H_{min}(\mathcal{B}_\varepsilon)$	127.963	127.815	127.631	126.163	124.343	110.400	94.332	19.456
$n = 168$ (3DES)								
$\mathcal{H}_n(\varepsilon)$	167.999	167.980	167.919	166.342	163.515	144.899	123.810	25.537
$H_{min}(\mathcal{B}_\varepsilon)$	167.952	167.758	167.516	165.588	163.200	144.899	123.810	25.537
$n = 192$ (AES, DEAL, Speck)								
$\mathcal{H}_n(\varepsilon)$	191.999	191.973	191.895	189.944	186.739	165.599	141.497	29.185
$H_{min}(\mathcal{B}_\varepsilon)$	191.945	191.723	191.447	189.244	186.515	165.599	141.497	29.185
$n = 256$ («Кузнечик», «Магма», AES, DEAL, Speck, Threefish)								
$\mathcal{H}_n(\varepsilon)$	255.998	255.953	255.815	252.848	248.770	220.799	188.663	38.913
$H_{min}(\mathcal{B}_\varepsilon)$	255.926	255.631	255.262	252.325	248.686	220.799	188.663	38.913

Спасибо за внимание!

